

مکران ناحیه مستعد سونامی در سواحل جنوب شرقی ایران

محمد مختاری^(*)

پژوهشکده زلزله شناسی، پژوهشگاه بین المللی زلزله شناسی و مهندسی زلزله

پذیرش مقاله: ۱۳۸۸/۱۲/۱۴

تأیید نهایی مقاله: ۱۳۸۹/۳/۱۳

چکیده

مکران در شمال دریای عمان یک گوه فزاینده متشکل از تشکیلات رسوی است که از اواخر کرتاسه در لبه جنوبی ایران مرکزی تشکیل شده است. در این مطالعه از داده های لرزه نگاری دو بعدی، اطلاعات منتشر شده ای زمین شناسی و لرزه خیزی منطقه استفاده شده است.

مطالعات اخیر صورت گرفته بر اساس اطلاعات به دست آمده از یک شبکه GPS نشان می دهد که سرعت فروزانش صفحه اقیانوسی عمان به زیر صفحه ایران در منطقه مکران حداقل حدود ۱۹ میلیمتر در سال می باشد. از نظر تاریخی سواحل جنوب شرقی مکران تحت تأثیر سونامی قرار گرفته است. آخرین زمین لرزه بزرگ رویداده در این منطقه، زمین لرزه ۱۹۴۵ ۸/۱ پاسنی با بزرگای ۴۰۰۰ نفر و خسارات به وجود آورد. این زمین لرزه و سونامی منتج از آن سبب کشته شدن حداقل حدود ۱۹۴۵ مدل اولیه توزیع زمانی و مکانی امواج سونامی در سواحل مکران و عمان و ایران گردید. بر خلاف بخش شرقی منطقه مکران، پهنه اقتصادی زیادی در کشورهای پاکستان، عمان و ایران گردید. فروزانش بخش غربی مکران فاقد وقوع زمین لرزه های تاریخی بوده و در ۲۵ سال گذشته هم رویداد زمین لرزه ای بزرگ یا متوسط در آن گزارش نشده است. با فرض تکرار سونامی ۱۹۴۵ مدل اولیه توزیع زمانی و مکانی امواج سونامی در سواحل مکران و عمان شبیه سازی و محاسبه گردیده است. براساس محاسبات انجام شده، پس از گذشت کمتر از نیم ساعت سواحل ایران، پاکستان و عمان تحت تأثیر سونامی قرار خواهند گرفت.

مراکز اقتصادی و اجتماعی منطقه ساحلی ایران در امتداد دریای عمان و در مجاور اقیانوس هند طی دو دهه اخیر گسترش قابل توجهی یافته است. این رشد جمعیتی و اقتصادی خطر تلفات جانی و خسارات مالی ناشی از رویداد سونامی های محتمل آینده را در این منطقه افزایش خواهد داد. در نتیجه جهت پیشگیری از اثرات تخریبی آن، ایجاد سامانه هشدار زود هنگام و نیز اجرای یک برنامه ریزی دقیق و سریع اطلاع رسانی به همراه تخلیه ی سریع مناطق مسکونی نزدیک به سواحل بسیار ضروری است.

واژه های کلیدی: سونامی، مکران، سامانه هشدار زود هنگام، داده های لرزه نگاری بازتابی دو بعدی در یا ی، دریایی عمان

شرکت ملی نفت ایران در قسمت غربی دریائی عمان مورد تائید قرار گرفته شده است. شکل ۲ نمونه‌ای از این داده‌ها را نشان می‌دهد. بعلاوه این شکل نشان دهنده تغییرات شدید عمق کف دریا در جهت شمال به جنوب بوده و نیز وجود لایه‌های رسوبی ضخیم، پیچیدگی ساختاری و وجود گسل‌ش فراوان را تائید می‌نماید.

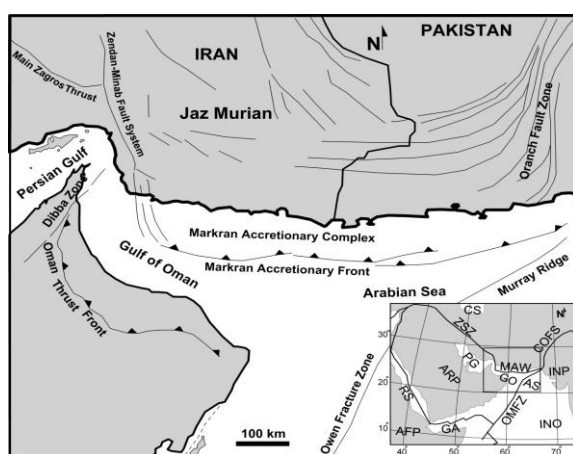
آخرین زمین لرزه رویداده در این منطقه با بزرگای ۸/۱ در سال ۱۹۴۵ موجب رخداد سونامی عظیمی شد (بایرن و همکاران، ۱۹۹۲) منطقه ساحلی مکران ایران در امتداد دریای عمان طی دو دهه اخیر گسترش اقتصادی و اجتماعی قابل توجهی یافته و جمعیت بسیار زیادی در این مناطق ساحلی ساکن شده‌اند. درنتیجه خطر تلفات جانی و خسارات اقتصادی ناشی از رویداد سونامی‌های محتمل آینده می‌تواند زیاد باشد. در این مقاله پس از مروری بر تکامل زمین ساختی گوه فزاینده مکران، پیش‌بینی زمانی و مکانی توسعه‌ی سونامی با بکار گیری رومرکز زمین لرزه ۱۹۴۵ و داده‌های توپوگرافی موجود، قابلیت‌های ایران از نظر لرزه شناسی و نیز پیشنهاد بهینه سازی سامانه موجود در رابطه با ثبت زود هنگام سونامی ارائه شده است.

مقدمه

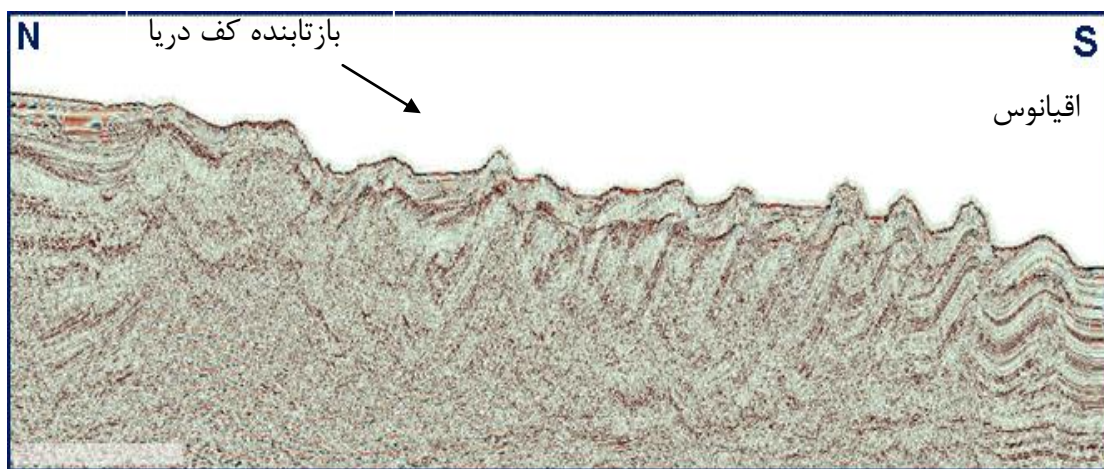
سواحل جنوبی ایران در مجاورت اقیانوس هند در معرض خطر سونامی ناشی از منطقه فرورانش مکران قرار دارد. بررسی سابقه وقوع سونامی در منطقه مکران نشان می‌دهد که این منطقه یکی از سونامی خیز ترین نواحی در منطقه‌ی اقیانوس هند به شمار می‌آید.

در مرز شمالی این حوضه، گوه فزاینده مکران (Makran Accretionary Prism) در مرز جنوب شرقی آن پشت‌هه اقیانوسی موری (Owen Fracture Ridge) و پهنه شکستگی اون (Owen Fracture Zone) قرار دارد. این حوضه از سمت جنوب و غرب به حاشیه قاره ای عمان محدود می‌شود. گوه فزاینده مکران در بخش‌های غیر ساحلی از شرق و غرب به ترتیب به سامانه‌های گسل تراگذر زندان-میناب و اورنج محدود می‌شود (شکل ۱).

از دیدگاه لرزه زمین ساختی، فعالیت‌های لرزه ای زیادی نظیر بسیاری از گوه‌های فزاینده دنیا در منطقه مکران انتظار می‌رود؛ ولی این منطقه، فعالیت لرزه ای کمی از خود نشان می‌دهد. برخلاف اکثر نواحی فرورانش دنیا، در جبهه گوه فزاینده مکران یک گودال اقیانوسی مشاهده نمی‌شود. مورد ذکر شده با مطالعه‌ی داده‌های لرزه نگاری دو بعدی بازتابی جمع آوری شده بوسیله



شکل ۱ - موقعیت زمین ساختی مکران و واحدهای ساختاری عمدۀ آن



شکل ۲- مقطع لرزه ای دوبعدی دریایی که نشان دهنده مرز تدریجی بین رسوبات آبهای عمیق دریایی با رسوبات گوه فراینده است. به فقدان یک گودال اقیانوسی در جبهه گوه فراینده مکران توجه کنید. محل مقطع لرزه ای در شکل ۱ نمایش داده شده است.

رسوبی، تریاس میانی تا ماستریختین است (گلنی، ۲۰۰۰). پهنه‌ای پوسته اقیانوس در نئوتیس با یک نرخ گسترش ۵ سانتی متر در سال، حدود ۷۵۰۰ کیلومتر بوده است (گلنی، ۲۰۰۰)، (مککال، ۱۹۸۵). در ژوراسیک تراشه نازکی (Thin slices) از حاشیه قاره ای مت Shank از واحدهای کربناته حوضه جلوکمانی، از حاشیه قاره ای صفحه اوراسیا جدا شده است (مککال، ۱۹۸۵).

همگرایی بین صفحات آفریقا- عربی و اوراسیا از اواخر کرتاسه آغازی (حدود ۱۱۰ میلیون سال پیش) شروع شده است (گلنی، ۲۰۰۰)، (مککال، ۱۹۸۵). در واقع، زمان شروع همگرایی در نئوتیس با بازشدنگی اقیانوس اطلس و جابه جایی محور پشتہ میان اقیانوسی هند همراه بوده است. در این زمان، دو پهنه فرورانش با شبیه به سمت شمال توسعه یافته است. پهنه فرورانش جنوبی در حدود ۸۰ کیلومتری شمال حاشیه قاره ای کنونی عمان قرار داشته است. این پهنه فرورانش با شبیک کمی به سمت شمال به صورت یک فرورانش داخل اقیانوسی تشکیل شده است (نیکلاس، ۱۹۸۸)، (مککال، ۱۹۸۵). شواهد این فرورانش را با وجود سنگ‌های دگرگونی

تکامل زمین ساختی

تکامل اقیانوس هند شمالی از جمله دریای عمان فرایند طولانی و پیچیده ای را از شروع کافتیدن و گسترش یافتن کف اقیانوس نئوتیس (پرمین پایانی) نشان می دهد. قدیمی ترین شواهد مربوط به گسترش کف اقیانوس در عمان تحت عنوان آمیزه‌های افیولیتی سمیل (Semail Ophiolitic Melanges) در عمان گزارش شده است (گلنی، ۲۰۰۰) این آمیزه‌های افیولیتی از رخساره‌های دریایی پرمین با میان لایه‌هایی از گدازه‌هایی بازالتی با ساخت بالشی، دایک‌ها و سیل‌ها تشکیل شده اند. اولین مرحله گسترش یافتن کف اقیانوس‌ها در دریای عمان به اواخر تریاس (نئوتیس ۱) برمی‌گردد که پهنه‌ای اقیانوس به حدود ۴۰۰ کیلومتر در امتداد دریای عمان کنونی رسیده است (گلنی، ۲۰۰۰). سپس محور گسترش پشتہ میان اقیانوسی به سمت شمال شرقی منتقل شده است. پوسته اقیانوسی دومین مرحله گسترش یافتن کف اقیانوس (نئوتیس ۲) به ژوراسیک بالایی- تورنین تعلق دارد (گلنی: ۲۰۰۰). بنابر شواهد صحرایی، سن این توالی‌های آتش‌فشانی-

از اوایل میوسن با سرعت حدود حداقل یک سانتی متر در سال به طرف اقیانوس هند پیش روی داشته است (وایت و لودن، ۱۹۸۲) در نتیجه حدود دو سوم تشکیلات رسوبی گوه فزاینده مکران در منطقه ساحلی واقع شده و مرز ساحلی مکران در گذشته در بخش شمالی خط ساحلی کنونی آن قرار داشته است.

آخرین حادثه زمین ساختی در تکامل ساختاری دریای عمان، بازشدگی خلیج عدن و کافتیدن دریای سرخ در حدود ۲۳ میلیون سال قبل بوده است (ادواردس و همکاران، ۲۰۰۰). این رویداد زمین ساختی موجب فشردگی پهنه شکستگی اون شده است (بارتون و همکاران، ۱۹۹۰). جدایش صفحه عربی از صفحه آفریقا به احتمال زیاد موجب افزایش نرخ فرورانش لیتوسفر اقیانوسی عمان گردیده است. در این مرحله تکامل رشته کوه‌های هیمالیا در امتداد ناحیه تصادم قاره به قاره هند- اوراسیا موجب افزایش قابل توجه ورود رسوبات حاصل از فرسایش این رشته کوه‌ها به اقیانوس هند و دریای عمان شده است. تشکیل حوضه‌های جلوکمانی مکران با افزایش نرخ فرورانش و حجم رسوبات ورودی به حوضه دریای عمان کنترل شده‌اند.

رویداد زمین لرزه‌ها در مکران

از دیدگاه لرزه زمین ساختی، فعالیت‌های لرزه ای زیادی نظیر بسیاری از گوه‌های فزاینده دنیا در منطقه مکران انتظار می‌رود؛ ولی این منطقه که بین مجموعه گسل‌های تراگذر زندان- میناب و اورنج واقع شده، فعالیت لرزه‌ای کمی از خود نشان می‌دهد (شکل ۲). ولی، بر اساس داده‌ها و اطلاعات موجود تاریخی این منطقه با رویداد زمین لرزه‌های بزرگی که توانایی ایجاد سونامی را داشته است، مواجه بوده است. بر اساس مطالعات انجام شده زمین لرزه‌های تاریخی که موجب ایجاد سونامی در منطقه مکران شده‌اند در جدول ۱ آورده شده است

درجه حرارت بالا (۹۰-۹۵ میلیون سال قبل) در قاعده توالي های آمیزه افیولیتی سمیل عمان می‌توان مشاهده کرد (هکر، ۱۹۹۴). در ماستریشتین، شرایط حرکت در حاشیه عمان به شرایط فرورانش تغییر یافت. پهنه فرورانش شمالی که در جنوب حوضه جلوکمانی با جگان- دورکان واقع شده بود، مسبب افزودن توالي آمیزه‌های افیولیتی به رسوبات این حوضه گردید. سن شروع این فرورانش قبل از قطعات بیگانه سنگ آهک ریفی آپتین- آلبین داخل این توالي های رسوبی عمیق دریاهاست (مککال، ۱۹۸۵). جوان ترین رسوبات در آمیزه‌های افیولیتی فوق مربوط به اواخر کرتاسه- اوایل پالئوسن می‌باشد که به احتمال زیاد فرونشست هم زاد زمین ساختی را نشان می‌دهد. بنابراین، پهنه مکران داخلی با افیولیت‌هایی از اوایل کرتاسه تا اوایل پالئوسن شکل گرفته است (مککال، ۱۹۸۵). این پهنه ویژگی‌های حوضه‌های پشت کمانی را نسبت به حوضه‌های میان اقیانوسی نشان می‌دهد. مهاجرت ورقه‌های رورانده به سمت حاشیه قاره‌ای عمان در حدود ۸۰ میلیون سال پیش موجب خمیدگی به سمت پایین و فرورانش افیولیت‌های سمیل بر روی حاشیه شمالی عمان شده است (گلنی و همکاران، ۱۹۷۳، لمفیر، ۱۹۸۸، مانیگنی و همکاران، ۱۹۸۸).

از اواخر کرتاسه این حاشیه قاره‌ای عمان به صورت یک حاشیه غیرفعال عمل نموده و بقایای پوسته اقیانوسی نئوتیس بخشی از صفحه آفریقایی- عربی را تشکیل داده‌اند. فرورانش بخش شمالی نئوتیس تا عهد حاضر در حاشیه ساحلی مکران فعال باقی مانده است. جبهه دگرشکلی اولیه این گوه فزاینده در حدود ۱۱۰ کیلومتری شمال خط ساحلی کنونی مکران و حدود ۲۳۰ کیلومتر شمالی این گوه فزاینده کنونی قرار گرفته است. در اثر توسعه و تکامل گوه‌های فزاینده ناشی از فرورانش، ساحل مکران

۱۹۹۱، پیج و همکاران، ۱۹۷۹، حیدر زاده و همکاران، ۲۰۰۸، مختاری و همکاران، ۲۰۰۸).

(بایرن و همکاران، ۱۹۹۲، راستوچی و جاسول، ۲۰۰۶، دومنی هاوز، ۲۰۰۶، آمبرازیس و ملویل، ۱۹۸۲، مورتی و باپت، ۱۹۹۹، مورتیورفیق،

جدول ۱- زمین لرزه‌های سونامی زای تاریخی در مکران

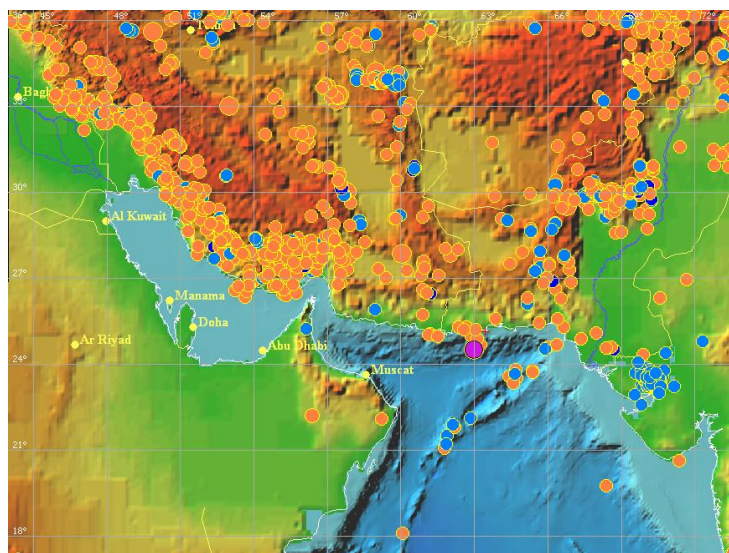
ردیف	سال	طول جغرافیایی	عرض جغرافیایی	بزرگای گشتاور زلزله	علت وقوع سونامی	تلفات
۱	۳۲۶ قبل از میلاد	در نزدیکی دهانه رودخانه ایندوس	-	-	زمین لرزه	-
۲	۱۰۰۸	۶۰ درجه شرق	۲۵ درجه شمال	-	زمین لرزه	-
۳	۱۸۹۷	نزدیک گوادر	-	-	آتش فشان؟	-
۴	۱۹۴۵	۶۳ درجه شرق	۲۴/۵ درجه شمال	۸/۱	زمین لرزه	۴۰۰۰

یک متر رسید و موجب صدمات شدیدی به بخش اعظم مناطق ساحلی گردید، به طوری که شهرهای بندری پاسنی و اورما به سختی آسیب دیدند. براساس گزارش‌های موجود، پس از رویداد سونامی، قسمتهایی از این دو شهر به زیر آب فرو رفتند. هم چنین، رویداد سونامی در مسقط عمان و گوادر نیز ثبت شده است. ارتفاع امواج در کراچی پاکستان حدود ۷/۰ متر بود. موج اول در ۵:۳۰ دقیقه با مدداد و پس از آن ۱۵ دقیقه و نهایتاً در ۸:۱۵ دقیقه با مدداد ثبت گردید که مرتفع‌ترین موج نیز بود. در ۸:۱۵ دقیقه با مدداد این موج در جزیره سالست مومبائی مشاهده شد. ارتفاع سونامی در کوچ و گوجارات هند به ۱۱/۵ تا ۱۱/۵ متر رسید. هم چنین سونامی در بندر بمبئی، ورسووا، حاج‌علی، جوها و دندا نیز مشاهده شده است (بایرن و همکاران، ۱۹۹۲). حدود ۹ رویداد زمین لرزه کوچکتر در شرق مکران اتفاق افتاد، به طوری که کانون آن‌ها نزدیک به سطح مشترک صفحات فرورونده بوده ولي گزارشی در مورد سونامی زائی از آنها در

زمین لرزه اخیر ثبت شده در بخش شرقی مکران که به رویداد سونامی انجامید، در ساعت ۲۱:۵۶ دقیقه (UTC) ۲۸ نوامبر ۱۹۴۵ در فاصله ۸۷/۱ کیلومتری جنوب باختری منطقه چوری (بلوچستان) پاکستان اتفاق افتاد. این زمین لرزه در طول جغرافیایی ۲۴/۵ درجه شمالی و عرض جغرافیایی ۶۳/۰ درجه شرقی با بزرگای ۸/۱ صورت گرفت (شکل ۳). این زمین لرزه ای با گسیختگی حدود تقریباً یک پنجم کل پهنه فرورانش همراه بود (پاچو و اسکایز، ۱۹۹۲). پسلزه این زمین لرزه در ۵ آگوست ۱۹۴۷ با بزرگای ۷/۲ در ساعت ۲۴:۱۴ دقیقه (UTC) در مختصات ۲۵/۱ درجه شمالی و ۶۳/۴ درجه شرقی اتفاق افتاد. هیچ گزارشی از وقوع سونامی ناشی از رویداد این زمین لرزه که در اعماق بسیار سطحی اتفاق افتاد، وجود ندارد. اثرات تخریبی زمین لرزه ۱۹۴۵ و سونامی مربوطه حاکی از آن است که این رویداد سبب کشته شدن حدود ۴۰۰ نفر در سواحل مکران و عمان شده است. ارتفاع سونامی در برخی بنادر مکران به حدود

صورت غیر لرزه‌زا باقی مانده است (آبرازیس و ملویل، ۱۹۸۲). این ناحیه غیر لرزه‌زا مشابه بخش‌هایی سایر گوه‌های فراینده دنیا از رسوبات سخت نشده تشکیل شده است (بايرن و همکاران، ۱۹۹۲). براساس مطالعات انجام شده وجود حجم قابل توجهی از رسوبات سخت نشده می‌تواند بیانگر عدم رویداد زمین لرزه‌هایی بزرگ در گوه‌های فراینده بخش غربی مکران باشد (بايرن و همکاران، ۱۹۹۲).

دسترس نمی‌باشد. جنوبی ترین این زمین لرزه‌ها ژرفایی حدود ۷۰-۸۰ کیلومتر داشته است؛ رخداد زمین لرزه‌هایی با سازوکار راندگی در بخش شرقی مکران نشانگر رسوباتی سخت شده و فاقد آب در حدود ۷۰ کیلومتری شمال جبهه دگرشكلي اين گوه فراينده است که می‌توانند در اثر دگرشكلي يك رفتار چسبنده-لغزشی (لرزه زا) نشان دهند. اما پنهانه فروزانش مکران در سواحل جنوب شرقی ايران به مدت زیادی به



شکل ۳ - نقشه لرزه خیزی منطقه مکران (بین سال‌های ۱۹۰۰-۲۰۰۵) با ($M > 4$) که زمین لرزه ۱۹۴۵ مسبب رویداد سونامی را شامل می‌باشد.

یا قطعات ممکن است سبب تغییر رفتار لرزه خیزی این پنهانه فروزانش شود، ولی پیوستگی جبهه دگرشكلي مکران و سایر ویژگی‌های زمین ساختی نشان دهنده آن است که نرخ فروزانش از شرق به غرب مکران اختلاف زیادی ندارند (میسون و همکاران، ۲۰۰۵) این نرخ همگرایی (میسون و همکاران، ۲۰۰۵) براساس اندازه گیری‌های GPS حدود ۱۹ میلی متر در سال محاسبه شده است (میسون و همکاران، ۲۰۰۵). بهر حال، عدم گزارش رویداد زمین لرزه‌های بزرگ از بخش غربی مکران می‌تواند نشان دهنده غیر لرزه‌ای بودن این بخش یا قفل شدن آن و درنتیجه رخداد زمین لرزه‌هایی بزرگ با دوره بازگشت طولانی باشد. براساس

قطعه بندی پنهانه‌ی فروزانش
برخلاف بخش شرقی منطقه مکران، پنهانه فروزانش بخش غربی مکران فاقد وقوع زمین لرزه‌های تاریخی بوده و در ۲۵ سال گذشته هم رویداد زمین لرزه‌ای بزرگ یا متوسط دستگاهی در آن گزارش نشده است. اکثر زمین لرزه‌ها در بخش غربی مکران در اعمق متوسط (داخل صفحه اقیانوسی فروزنده) رخ می‌دهند. تغییر چشمگیر لرزه خیزی بین بخش‌های شرقی و غربی مکران به همراه رویداد دو زمین لرزه با سازوکار راستالغز راستگرد در بخش مرکزی مکران، می‌تواند بیانگر قطعه بندی این پنهانه فروزانش باشد. اگرچه حرکت بین این بلوک‌ها

پیشگویی اولیه‌ی زمان رسید جبهه موج به خطوط ساحلی در سیستم‌های سریع شناسایی زمین لرزه در مناطق اقیانوسی است.

محاسبه سرعت موج (c) بر اساس معادله ۱ می‌باشد که در آن g شتاب ناشری از جاذبه و d عمق آب است.

$$C = \sqrt{gd} \quad (1)$$

محاسبه سرعت محلی برای هر زاویه از مرکز زمین لرزه بصورت مرحله به مرحله انجام می‌گردید و سپس با انتگرال گیری سرعت، موقعیت موج حاصل گردیده است. فاصله از مرکز زمین لرزه (S) در زمان T_{req} (زمان مورد نظر) تابعی است از زاویه α (زاویه انتشار امواج) که با انتگرال گیری رابطه ۱ بصورت رابطه ۱ قابل محاسبه می‌باشد (آنوزیاتو و بست، ۲۰۰۵). (شکل ۴).

$$S(\alpha, T_{req}) = \int_0^{T_{req}} \sqrt{gd(x)} dx \quad (2)$$

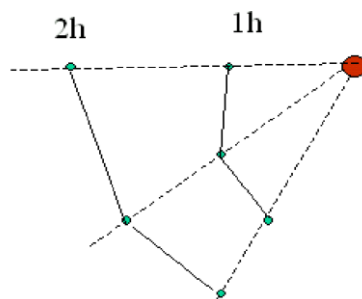
در این معادله X مختصات هر نقطه در امتداد شعاع شروع انتشار از مرکز زمین لرزه می‌باشد. این محاسبات جهت تحت پوشش قرار دادن طول مدت زمان مورد نیاز برای تحت تاثیر قرار گیری مناطق مورد نظر ادامه می‌یابد. بدین ترتیب خطوط هم زمانی حرکت موج سونامی در زمان‌ها و مکان‌های مختلف رسم می‌گردد.

شواهد و مدارک موجود، هنوز نتیجه گیری قطعی در مورد این که کدامیک از این دو فرضیه صحیح هستند، نمی‌توان ارایه نمود.

با توجه به موارد فوق، برای شناخت چشم‌های احتمالی رویداد سونامی در این منطقه مروری بر رفتار لرزه زمین ساختی گوه فزانینده مکران، ضروری است. این مطالعات ما را در تعیین نوع، تعداد و موقعیت دستگاه‌های مورد نیاز فرابینی سونامی جهت ایجاد یک شبکه کنترل منطقه‌ای راهنمایی خواهد نمود.

مدل اولیه محاسبه توزیع زمانی و مکانی سونامی احتمالی در سواحل مکران روش محاسبه و مدل بندی

به منظور دست یابی به یک مدل اولیه از طول مدت زمان حرکت یک سونامی فرضی جهت استفاده در سیستم هشدار سونامی زود هنگام، شبیه سازی زیر به انجام رسیده است. این شبیه سازی براساس سرعت امواج منتج از گرانی در آب‌های کم عمق پایه گذاری شده است. در این شبیه سازی از مدل توپوگرافی (ETOPO5) برای محاسبه سرعت موضعی در هر نقطه جبهه موج استفاده شده است و در آن اثرات هیدرودینامیکی، شکل هندسی بنادر و پراش موج لحظه نگردیده است. هدف از این مدل تنها



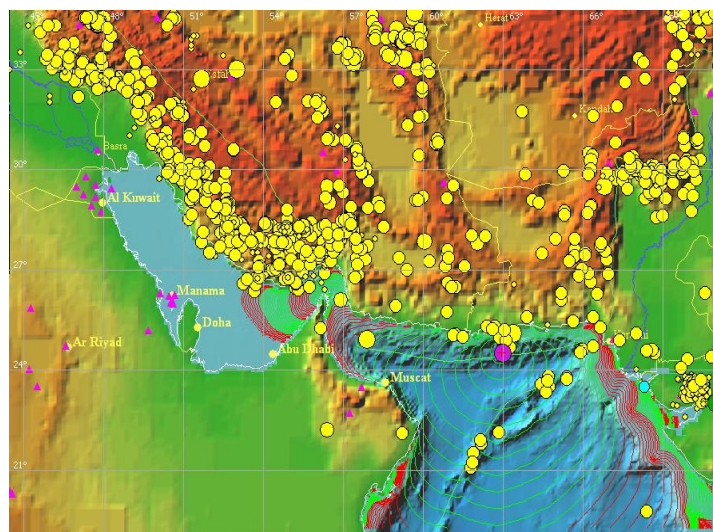
شکل ۴- فرآیند انتشار امواج سونامی از رومکز زمین لرزه (آنوزیاتو و بست، ۲۰۰۵).

جهت دقیق تر شدن مدل توپوگرافی (ETOPO5) باید از داده‌های محلی که از دقت

قابل ذکر است که این مدل نسبت به توپوگرافی منطقه حساسیت بالایی دارد. در نتیجه در آینده

هشدار به موقع، علاوه بر داشتن توپوگرافی منطقه و رصد لرزه‌ای، نیاز به نصب دستگاه‌های دریایی تشخیص سریع سونامی در مکران می‌باشد. هم‌چنین، جهت اطلاع رسانی آنی و به موقع در سواحل جنوب شرقی ایران، اجرای یک برنامه ریزی دقیق و سریع اطلاع رسانی به همراه تخلیه‌ی سریع مناطق مسکونی نزدیک به سواحل بسیار ضروری است.

بالاتری برخوردار هستند استفاده شود. بر اساس مطالب فوق و با فرض تکرار سونامی ۱۹۴۵ مدل اولیه توزیع زمانی و مکانی امواج سونامی در سواحل مکران و عمان شبیه سازی و محاسبه گردیده است (شکل ۵). براساس محاسبات انجام شده، پس از گذشت کمتر از نیم ساعت سواحل ایران، پاکستان و عمان تحت تأثیر سونامی قرار خواهند گرفت. لازم به ذکر است جهت دست یابی به یک سیستم مورد اعتماد جهت اعلام



شکل ۵- مسیر حرکت زمانی و مکانی یک سونامی فرضی در رومرکز زمین لرزه مسبب رویداد سونامی ۱۹۴۵ مکران نشان داده شده است. فاصله بین خطوط زمانی ۵ دقیقه می‌باشد. دوایر زرد رنگ محل زمین لرزه‌های ۱۹۰۰ تا ۲۰۰۴ (اندازها متناسب با بزرگای زمین لرزه‌ها از ۸/۷ تا ۸/۵)، دایره‌ی بنفش محل رویداد سونامی ۱۹۴۵ و مثلث‌های بنفش رنگ محل ایستگاه‌های لرزه نگاری را نشان می‌دهند.

و آسیب‌ها دارد. برای تعیین توانایی‌های ملی و منطقه‌ای سامانه‌های هشدار زود هنگام اقدامات زیر باید صورت گیرد:

- ۱ ارزیابی EWS موجود و قابلیت‌های ملی و منطقه‌ای؛
- ۲ تقویت ظرفیت و قابلیت سامانه مدیریت ملی بلاهای طبیعی به ویژه در سطح منطقه‌ای؛
- ۳ تعیین سامانه‌های اطلاع رسانی خطر در سطح ملی که بتواند نواحی پرخطر را شناسایی و توانایی‌های EWS منطقه‌ای را از طریق برنامه‌های آموزشی و تقویتی ارتقاء بخشد.

نیازهای سامانه هشدار زودهنگام

افزایش دانش علمی در مورد زمین‌شناسی و فرآیندهای هواشناسی و آب شناسی همراه با پیشرفت‌های مخابراتی و فناوری اطلاعات، پیش‌آگاهی بسیاری از خطرات و هشدارها را حتی در زمان به هنگام برای مقامات مسئول و مدیریت بلاهای طبیعی ممکن ساخته است. سامانه‌های هشدار زود هنگام تأثیر مهمی به کاهش خطرات ناشی از زمین لرزه و اعزام به موقع گروه‌های کمک رسان برای کاهش تلفات

فرابینی لرزه‌ای در منطقه مکران

نتیجه‌گیری و فعالیت‌های آتی

شواهد رویداد زمین لرزه‌های دستگاهی ویرانگر اخیر ۲۸ نوامبر ۱۹۴۵ پاسنی و نیز زمین لرزه‌های تاریخی به همراه تشکیل پادگانه‌های دریایی هولوسن و نرخ سریع بالا آمدگی آنها (۰/۳ - ۲ میلی متر در سال، (پیچ و همکاران، ۱۹۷۹، فانتوین و همکاران، ۱۹۹۷، ریس و همکاران، ۱۹۹۸). در امتداد بخش اعظم سواحل شرقی و غربی مکران نشان می‌دهد که منطقه فرورانش مکران مستعد رویداد زمین لرزه‌های عظیمی است که منجر به ایجاد سونامی می‌توانند باشند. علیرغم کمبود/ نبود شواهد موجود از زمین لرزه‌های تاریخی و دستگاهی ، بخش غربی منطقه مکران نیز می‌تواند زمین لرزه‌های بزرگی را ایجاد کند و یا به صورت قطعات کوچکتری با رویداد زمین لرزه‌های با بزرگای کمتر گسیخته شود. و یا اینکه ممکن است منطقه مکران غربی عملکردی کاملاً متفاوت با مکران شرقی داشته و برای همیشه لغزش‌های غیرلرزه‌ای را برای مکران غربی شاهد باشیم. بهر حال، اطلاعات در مورد سرعت لرزه‌ای و ماهیت سخت شدگی و سنگ شدگی رسوبات بخش های داخلی جزایر کمانی مکران در کنار اطلاعات لرزه زمین ساختی دقیق به شناخت رفتار مرز صفحات به صورت غیرلرزه زا یا با گسیختگی هایی هم لرزه‌ای بزرگ کمک خواهد کرد. این مطالعات تأثیر مهمی در شناخت خطرات لرزه‌ای در منطقه مکران ایران خواهد داشت. به علاوه انجام مطالعات دیرینه سونامی شناسی یکی از ابزارهای مهمی است که می‌تواند در این امر مهم سودمند باشد.

بر اساس مطالعه یاد شده، جهت کاهش تلفات انسانی و زیانهای اقتصادی لازم است راه اندازی یک سامانه جامع فرابینی و هشدار سونامی در

در سالهای اخیر پژوهشگاه بین المللی زلزله شناسی و مهندسی زلزله یک شبکه لرزه‌نگاری باند پهن بهنگام طراحی و در حال بهره برداری می‌باشد. این شبکه پس از فاز پایانی دارای ۴۸ ایستگاه باند پهن سه مؤلفه‌ای خواهد بود که ۲۱ ایستگاه آن در حال حاضر عملیاتی و در حال بهره برداری می‌باشد. بقیه ایستگاه‌ها طوری برنامه ریزی شده‌اند که در مدت ۵ سال عملیاتی شوند. این ایستگاه‌ها به سامانه ارتباطی (VSAT) مجهز است که قادرند محل زمین‌لرزه‌ها را در مدت چند دقیقه تعیین کنند. در نظر است حداقل ۴ ایستگاه دائمی به هنگام در حوضه ساحلی خلیج‌فارس و دریای عمان ایجاد گردد.

براساس تجزیه و تحلیل چشمی رویداد سونامی، حداقل نیاز شبکه فرابینی رویداد سونامی که بتواند منطقه مکران و دریای عمان را تحت پوشش قرار دهد باید ارزیابی و طراحی گردد. در اینجا تنها قسمت ایرانی دریای عمان (منطقه مکران) را مورد بررسی قرار گرفته شده است ولی یک طرح یکپارچه سامانه‌ی هشدار زود هنگام برای کل منطقه که بخشی از سامانه‌ی اقیانوس هند را تشکیل خواهد داد پیشنهاد شده است.

برای دستیابی به یک سامانه کنترل و فرابینی سونامی در بخش مکران ایران پیشنهاد می‌شود که یک شبکه با ۳ ستاد نگار، ۳ لرزه‌نگار باند پهن، ۲ سنسور عمیق اقیانوسی و ایستگاه‌های اندازه گیری تغییرات سطح آب دریا ایجاد شود. این سامانه در آینده می‌تواند به شبکه لرزه نگاری باند پهن ایران که قسمت اعظم ایران را تحت پوشش قرار می‌دهد و زیر نظر پژوهشگاه بین المللی زلزله شناسی و مهندسی زلزله کار می‌کند وصل شود.

ایران را برای مطالعات تحقیقاتی فراهم نموده و نیز به شناخت بهتر ویژگی های لرزه زمین ساختی منطقه مکران کمک می نماید. دوم آنکه امکان فرابینی رویدادهای سونامی محتمل ناشی از فعالیت های زمین لرزه ای منطقه مکران را در یک سامانه هشدار زود هنگام ایجاد می نماید.

سواحل مکران ایران برای واکنش سریع مورد بحث قرار گیرد. به علاوه، سیاست گذاری کاهش خطر، نقشه های تخلیه نفرات و خطر سونامی تهیه و تنظیم گردد.

به طور کلی، این سامانه می تواند دارای کاربری دوگانه باشد: اول آنکه امکان بررسی توزیع مکانی - زمانی زمین لرزه های منطقه مکران

- Glennie, K.W., 2000.“Cretaceous tectonic evolution of Arabia's eastern plate margin: A tale of two oceans”, SEPM Special Publication, n. 69, p. 9-20.
- Glennie, K.W., Boeuf, M.G.A., Hugues Clark, M.W., Moody-Stuart, M., Pilaar, W.F.H., and Reinhardt, B.M., 1973. "Late Cretaceous nappes in Oman Mountains and their geologic evolution" Bull. Am. Assoc. Pet. Geol., v. 57, p. 5-27.
- Hacker, B.R., 1994. Rapid emplacement of young oceanic lithosphere: argon geochronology of the Oman ophiolite, Science, v. 265, p. 1563-1565.
- Heidarzadeh, M., Pirooz, M., D., Zaker, N., H., Yalciner, A., C., Mokhtari, M., and Esmaeily, A., 2008. Historical Tsunami in the Makran Subduction Zone off the Southern Coasts of Iran and Pakistan and Results of Numerical Modeling, Ocean Engineering, v. 35. p. 774-786.
- Lamphere, M.A., 1981. “K-Ar ages of metamorphic rocks at the base of the Semail Ophiolites, Oman” Journal Geophys. Res., v. 86, p. 2777-2782.
- Masson, F., Chery, J., Hatzfeld, D., Martinod, J., Vernant, P., Tavakoli, F., and Ghafory-Ashtiani, M., 2005. “Seismic versus aseismic deformation in Iran inferred from earthquake and geodetic data”, Journal Geophys Int, v. 160, p. 217-226.
- McCall G.J.H. (ed.),, 1985. “Area Report, East Iran Project, Area No: 1 (North Makran and South Beluchistan)”, Geological Survey of Iran.
- Mokhtari, M., Abdollahie-Fard., and I., Hessami, Kh., 2008. Structural elements of the Makran region, Oman Sea and their potential relevance to tsunamigenesis, Natural Hazard, v. 47, p. 185-199.

منابع

- Ambraseys, N.N., and Melville, C.P., 1982. A History of Persian Earthquakes, Cambridge Univ. Press, New York. 219 P.
- Annunziato, A., and Best, C., 2005. The tsunami event analyses and models, Institute for Protection and Security of Citizen, Joint Research Center European Commission.
- Barton, P.J., Owen, T.R.E., and White, R.S., 1990. “The deep structure off the east Oman continental margin: preliminary results and interpretation” Tectonophysics, v. 173, p. 319-331.
- Byrne, D. E., Sykes, L. R., and Davis, D. M., 1992. “Great thrust earthquakes and aseismic slip along the plate boundary of the Makran subduction zone”, Journal Geophys. Res., v. 97, p. 449-478.
- Dominey-Howes D., Cummins, P., and Burbidge, D., 2006. Historic records of teletsunami in the Indian Ocean and insights from numerical modeling, Natural Hazards, v. 42, p. 1-17.
- Edwards, R.A., Minshull, T.A., and White, R.S., 2000. “Extension across the Indian Arabian plate boundary: the Murray Ridge”, Geophysical Journal International, v. 142, p. 461-477.
- Fontugne, M., Reyss, J.L., Hatte, C., Pirazzoli, P.A., and Haghipour, A., 1997. Global sea level changes as indicated by ^{14}C and $^{230}\text{Th}/^{234}\text{U}$ dating of marine terraces in the Persian Gulf and along the Makran Coast (Iran). In: Earth Processes in Global Change-Climate of the Past. Proceedings of the Lanzarote-Fuerteventura UNESCOIUGS Meeting, 1-6 June 1995, Universidad de Gran Canaria, Las Palmas, 81–88 P.

- Page, W.D., Alt, J.N., Cluff, L.S., and Plafker, G., 1979. Evidence for the occurrence of large-magnitude earthquakes along the Makran coast of Iran and Pakistan. *Tectonophysics*, v. 52, p. 533-547.
- Rastogi, B. K. , and Jaiswal, R. K., 2006. A Catalog of Tsunamis in the Indian Ocean, *Science of Tsunami Hazard*, v. 25, p.128-143.
- Reyss, J.L., Pirazzoli, P.A., Haghipour, A., Hatte, C., and Fontugne, M., 1998. Quaternary marine terraces and tectonic uplift rates on the out coast of Iran. In: Stewart, I.S., Vita-Finzi, C. (Eds.), *Coastal tectonics*. Geological Society, London, Special Publication, v. 146, p. 225-237.
- White, R.S. and Louden, K.E., 1982. "The Makran continental margin: structure of a thickly sedimented convergent plate boundary". In J.S. "Watkins and C.L. Drake (Editors), *Studies in Continental Margin Geology*", Mem. Am. Assoc. Pet. Geol, v. 34, p. 499-518.
- Montigny, R., Le Mer, O., Thuizat, R. and Whitechurch, H., 1988. K-Ar and 40Ar/39Ar study of metamorphic rocks associated with Oman ophiolite: blue schist metamorphism prior to emplacement of the oceanic crust onto the Arabian platform, *Tectonophysics*, v. 151, p. 173-246.
- Murty, T., and Bapat, A., 1999. Tsunamis on the coastlines of India, *Science of Tsunami Hazards*, v. 17, p.167-172.
- Murty, T., and Rafiq, M., 1991. A tentative list of tsunamis in the marginal seas of the north Indian Ocean, *Nat. Hazards*, v. 4, p. 81-83.
- Nicolas, A., 1988. "Structures of Ophiolites and Dynamics of Oceanic Lithosphere", *Petrology and Structural Geology 4*, Kluwer, Dordrecht, 367 p.
- Pacheo, J. F., and Skeys, L. R., 1992."Seismic Moment of great shadow earthquake 1900-1989, Seismological society of America, v. 82, p.1306-1349.